



Laboratorium EMVO Sp. J. Urbański, Pawelak
ul. Jasna 1
00-013 Warszawa

tel. +48 22 780 29 64
e-mail: laboratorium@emvo.pl



Sprawozdanie z pomiarów pól elektromagnetycznych - środowisko ogólne nr 98/09/OS/2020-P4-W



Nr i nazwa stacji	BIA1060	
Adres	Białystok, Zabłudowska 72, pow. Białystok, woj. podlaskie	
Opracowanie	Patrycja Glander	Specjalista ds. pomiarów
Autoryzacja	Andrzej Urbański	Kierownik Laboratorium
Podpis		
Data	2020-09-24	

Spis treści

1. Informacje ogólne.....	3
2. Podstawa prawna.	3
3. Opis pomiarów	4
4. Zróżnicowanie dopuszczalne poziomy pól elektromagnetycznych.....	5
5. Charakterystyka źródeł PEM.	5
6. Wyniki pomiarów.....	6
7. Stwierdzenie zgodności	8
8. Oświadczenie.....	8
9. Spis załączników.	8

1. Informacje ogólne.

Zleceniodawca	P4 sp. z o.o., ul. Taśmowa 7, 02-677 Warszawa osoba udzielająca informacji- Monika Bieroza
Istotne informacje dostarczone przez klienta	komplet informacji niezbędnych do wykonania pomiarów i opracowania sprawozdania
Dane otrzymane od klienta mogące mieć wpływ na ważność wyników	Dane anten sektorowych, dane anten radioliniowych, parametry pracy instalacji, poprawka pomiarowa, ustawienie pochylenia anten
Prowadzący instalację	P4 sp. z o.o., ul. Taśmowa 7, 02-677 Warszawa
Lokalizacja obiektu	Białystok, Zabłudowska 72, pow. Białystok, woj. podlaskie
Miejsce instalacji anten	Wieża rurowa
Miejsce instalacji urządzeń	Outdoor
Osoby wykonujące pomiar	Łukasz Biczysk
Data wykonania pomiaru	24.09.2020
Temperatura na początku pomiaru [°C]	27,0
Temperatura na koniec pomiaru [°C]	28,0
Warunki atmosferyczne	Brak opadów
Wilgotność na początku pomiaru [%]	52,0
Wilgotność na koniec pomiaru [%]	50,0
Inne źródła pól elektromagnetycznych oznaczone na załączniku graficznym	Nie występują
Parametry pracy instalacji	Rzeczywisty

2. Podstawa prawna.

2.1 Normy i rozporządzenia:

- ☐ Rozporządzeniem Ministra Klimatu z dnia 17 lutego 2020 r. w sprawie sposobów sprawdzania dotrzymania dopuszczalnych poziomów pól elektromagnetycznych w środowisku (Dz.U. 2020 poz. 258)
- ☐ Rozporządzenie Ministra Zdrowia z dnia 17 grudnia 2019 r. w sprawie dopuszczalnych poziomów pól elektromagnetycznych w środowisku (Dz.U. 2019 poz. 2448)
- ☐ Obwieszczenie Marszałka Sejmu Rzeczypospolitej Polskiej z dnia 19 lipca 2019 r. w sprawie ogłoszenia jednolitego tekstu ustawy - Prawo ochrony środowiska (Dz.U. 2019 poz. 1396).

3. Opis pomiarów

Metodologia pomiarowa	Pomiary w oparciu o Rozporządzeniem Ministra Klimatu z dnia 17 lutego 2020 r. w sprawie sposobów sprawdzania dotrzymania dopuszczalnych poziomów pól elektromagnetycznych w środowisku (Dz.U. 2020 poz. 258),
Cel badań	Określenie wartości natężenia pola elektrycznego w miejscach dostępnych dla ludności.
Opis zestawu pomiarowego	Miernik Narda NBM 520, Sonda EF 9091, o zakresie pomiarowym 0,8 V/m 300V/m pracująca w paśmie 80 MHz – 90 GHz, świadectwo wydane przez Laboratorium Wzorców i Metrologii Pola Elektromagnetycznego, Instytut Telekomunikacji, Teleinformatyki i Akustyki Politechniki Wrocławskiej, numer świadectwa: LWIMP/W/092/19, świadectwo ważne do 08.03.2021r. Miernik Narda NBM 520, Sonda EF 9091 pracująca w zakresie temperatury -10°C - +50°C oraz wilgotności 5% - 95%. Niepewność rozszerzona 59,2% przy poziomie ufności 95% z uwzględnieniem współczynnika rozszerzenia k=2.
Wypożyczenie pomocnicze	Termohigrometr Bestone, typ: GM1362-EN-00, nr identyfikacyjny 1222436, świadectwo wzorcowania z dn. 03.04.2017r. wydane przez Laboratorium Pomiarowe "MUTECH". Przymiar wstępowy STABILA, nr seryjny 10721, świadectwo wzorcowania z dn. 19.06.2017r. wydane przez Zespół Laboratoriów wzorcujących Okręgowego Urzędu Miar w Gdańsku. GPS Garmin 64s okresowo sprawdzany w punktach osnowy geodezyjnej klasy 3 na podstawie licencji punktu, zgodnie z procedurą sprawdzeń okresowych IS/PO-16-11/03.
Pomiary zostały wykonane	<ol style="list-style-type: none">1. na głównych i pomocniczych kierunkach pomiarowych, na kierunkach zbliżonych do azymutów anten oraz w dodatkowych pionach pomiarowych zgodnie z wymaganiami pkt 12, 13, 14 i 19 załącznika do rozporządzenia Ministra Klimatu z dnia 17 lutego 2020 r. (Dz. U. 2020, poz. 258),2. na obszarze pomiarowym, dla którego, na podstawie uprzednio wykonanych obliczeń uzyskanych od zlecniodawcy, stwierdzono możliwość występowania pól elektromagnetycznych o poziomach zbliżonych do poziomów dopuszczalnych zgodnie z wymaganiami pkt 5 ppkt 2 oraz pkt 13 ppkt 1 załącznika do rozporządzenia Ministra Klimatu z dnia 17 lutego 2020 r. (Dz. U. 2020, poz. 258). Wyniki obliczeń nie uwzględniały parametrów pracy instalacji innych operatorów występujących na obiekcie bądź w obszarze pomiarowym.3. w miejscach dostępnych dla ludności.4. miejsca niedostępne podczas wykonywania pomiarów wskazane zostały w pkt 6 (tabeli wyniki pomiarów)5. wyniki pomiarów uzyskane zostały przy uwzględnieniu poprawek pomiarowych przekazanych przez zlecniodawcę oraz przy rzeczywistych warunkach pracy instalacji innych operatorów (w przypadku występowania). W takiej sytuacji uwzględniono jednolitą poprawkę pomiarową wynoszącą 1,65
Szczególne warunki podczas wykonywania pomiarów	Pomiary wykonane zostały podczas obowiązywania w kraju stanu epidemii, zgodnie z art. 122a ust. 1b Ustawy z dnia 27 kwietnia 2001 r. – Prawo ochrony środowiska (Dz. U. z 2019 r. poz. 1396, z późn. zm.9))

Warunki pracy urządzeń nadawczych

Podczas pomiarów zostały uwzględnione poprawki pomiarowe przekazane przez zleceniodawcę, umożliwiające uwzględnienie maksymalnych parametrów pracy instalacji zgodnie z pkt 7 załącznika do Rozporządzenia Ministra Klimatu z dnia 17 lutego 2020 r. w sprawie sposobów sprawdzania dotrzymania dopuszczalnych poziomów pól elektromagnetycznych w środowisku (Dz. U. 2020, poz. 258).

4. Zróżnicowanie dopuszczalne poziomy pól elektromagnetycznych.

Zakresy znajdują się w Dzienniku Ustaw z dnia 17 grudnia 2019 r. przedstawione są w tabeli nr 2 (Dz. U. z 2019r. poz. 2448).

Parametr fizyczny Zakres Częstotliwości pola elektromagnetycznego	Składowa elektryczna E (V/m)	Składowa magnetyczna H (A/m)	Gęstość mocy S (W/m ²)
od 400 MHz do 2000 MHz	$1,375 \times f^{0,5}$	$0,0037 \times f^{0,5}$	$f / 200$
od 2 GHz do 300 GHz	61	0,16	10

5. Charakterystyka źródeł PEM.

Zgodnie z informacją otrzymaną od klienta pomiary zostały wykonane przy ustawieniach pochylenia anten zgodnych z pkt. 13, ppkt 2 załącznika do rozporządzenia Ministra Klimatu z dnia 17 lutego 2020 roku.

Tabela 1. Anteny sektorowe - dane otrzymane od klienta

Charakterystyka promieniowania		kierunkowa									
Rzeczywisty czas pracy [h/dobę]		24									
Rodzaj wytwarzanego pola		stacjonarne									
L p	Wyszczególnienie	sektor 1					sektor 2				
I	Nadajnik stacji bazowej:										
1	Typ / Producent	DBS / Huawei									
2	Częstotliwość (pasmo) MHz	2600	1800	800	2100	900	2600	1800	800	2100	900
3	Maksymalna moc nadawana na sektor [dBm]	52,04	49,03	46,02	49,03	44,77	52,04	49,03	46,02	49,03	44,77
II	Obciążenie:										
1	Typ anteny	Huawei ADU4518R6	Huawei ADU4518R8	Huawei ADU4518R8		Huawei ADU4518R6		Huawei ADU4518R8	Huawei ADU4518R8		
2	Producent anteny	Huawei	Huawei	Huawei		Huawei		Huawei	Huawei		
3	Ilość anten	1	1	1		1		1	1		
4	Azymut	0					90				
5	Zakres kątów pochylenia anten [°]	0-8	2-11	0-10	2-11	0-10	0-7	2-9	0-9	2-9	0-9
6	Wysokość zainst. n.p.t. [m]	42,70					42,70				
7	EIRP [W]	11591	6504	6659		11591		6504	6659		

Charakterystyka promieniowania		kierunkowa									
Rzeczywisty czas pracy [h/dobę]		24									
Rodzaj wytwarzanego pola		stacjonarne									
L p	Wyszczególnienie	sektor 3					sektor 4				
I	Nadajnik stacji bazowej:										
1	Typ / Producent	DBS / Huawei									
2	Częstotliwość (pasmo) MHz	2600	1800	800	2100	900	2600	2100	900	1800	800
3	Maksymalna moc nadawana na sektor [dBm]	52,04	49,03	46,02	49,03	44,77	52,04	49,03	44,77	49,03	46,02
II	Obciążenie:										
1	Typ anteny	Huawei ADU4518R6		Huawei ADU4518R8		Huawei ADU4518R8		Huawei ADU4518R6		Huawei ADU4518R8	
2	Producent anteny	Huawei		Huawei		Huawei		Huawei		Huawei	
3	Ilość anten	1		1		1		1		1	
4	Azymut	180					270				
5	Zakres kątów pochylenia anten [°]	0-7	2-10	0-10	2-10	0-10	0-6	2-11	0-10	2-11	0-10
6	Wysokość zainst. n.p.t. [m]	42,70					42,70				
7	EIRP [W]	11591	6504		6659		11591	6659		6504	

Tabela 2. Anteny radioliniowe - dane otrzymane od klienta

Charakterystyka promieniowania				kierunkowa			
Rzeczywisty czas pracy [h/dobę]				24			
Rodzaj wytwarzanego pola				stacjonarne			
Lp	Linia radiowa			Antena			
	typ/producent	częstotliwość pracy [GHz]	moc wyjściowa [dBm]	typ/producent	średnica anteny [m]	azymut [°]	wysokość zainstal. [m]
1	OPTIX RTN/HUAWEI	80	18	A80S06H/Huawei	0,6	305	39,00

6. Wyniki pomiarów.

Wyniki pomiarów pól elektromagnetycznych dla celów ochrony środowiska przedstawia poniższa tabela. Piony pomiarowe zostały przedstawione w zał. 2.

Nr PP	Pole-E [V/m]	Pole-E *kE+U [V/m]	Pole-H [A/m]	Pole-H *kE+U [A/m]	Wys. pomiaru [m]	Opis pionu	Uwagi	WM _E	WM _H
1	<0,8*	<2,10	<0,002	<0,006	0,3-2,0	N:53°05'48,53" E:23°14'02,48"	otoczenie stacji bazowej - 100m wzdłuż gł. osi promieniowania - GKP	<0,054	<0,053
2	<0,8*	<2,10	<0,002	<0,006	0,3-2,0	N:53°05'50,16" E:23°14'02,42"	otoczenie stacji bazowej - 150m wzdłuż gł. osi promieniowania - GKP	<0,054	<0,053
3	<0,8*	<2,10	<0,002	<0,006	0,3-2,0	N:53°05'51,82" E:23°14'02,80"	otoczenie stacji bazowej - 200m wzdłuż gł. osi promieniowania - GKP	<0,054	<0,053
4	<0,8*	<2,10	<0,002	<0,006	0,3-2,0	N:53°05'53,40" E:23°14'02,95"	otoczenie stacji bazowej - 250m wzdłuż gł. osi promieniowania - GKP	<0,054	<0,053
5	<0,8*	<2,10	<0,002	<0,006	0,3-2,0	N:53°05'54,90" E:23°14'03,10"	otoczenie stacji bazowej - 300m wzdłuż gł. osi promieniowania - GKP	<0,054	<0,053
6	<0,8*	<2,10	<0,002	<0,006	0,3-2,0	N:53°05'56,30" E:23°14'03,24"	otoczenie stacji bazowej - 350m wzdłuż gł. osi promieniowania - GKP	<0,054	<0,053
7	<0,8*	<2,10	<0,002	<0,006	0,3-2,0	N:53°05'58,02" E:23°14'03,20"	otoczenie stacji bazowej - 400m wzdłuż gł. osi promieniowania - GKP	<0,054	<0,053
8	<0,8*	<2,10	<0,002	<0,006	0,3-2,0	N:53°05'58,96" E:23°14'03,29"	otoczenie stacji bazowej - 427m wzdłuż gł. osi promieniowania - GKP	<0,054	<0,053
9	<0,8*	<2,10	<0,002	<0,006	0,3-2,0	N:53°05'45,13" E:23°14'09,90"	otoczenie stacji bazowej - 150m wzdłuż gł. osi promieniowania - GKP	<0,054	<0,053
10	<0,8*	<2,10	<0,002	<0,006	0,3-2,0	N:53°05'44,88" E:23°14'13,44"	otoczenie stacji bazowej - 225m wzdłuż gł. osi promieniowania - GKP	<0,054	<0,053

„Bez pisemnej zgody Laboratorium niniejsze sprawozdanie nie może być powielane inaczej, jak tylko w całości. Ponadto wyniki dotyczą tylko badanych obiektów przywołanych w niniejszym sprawozdaniu z badań”

11	<0,8*	<2,10	<0,002	<0,006	0,3-2,0	N:53°05'44,42" E:23°14'23,86"	otoczenie stacji bazowej - 427m wzdłuż gł. osi promieniowania - GKP	<0,054	<0,053
12	<0,8*	<2,10	<0,002	<0,006	0,3-2,0	N:53°05'42,04" E:23°14'01,77"	otoczenie stacji bazowej - 100m wzdłuż gł. osi promieniowania - GKP	<0,054	<0,053
13	<0,8*	<2,10	<0,002	<0,006	0,3-2,0	N:53°05'40,36" E:23°14'01,96"	otoczenie stacji bazowej - 150m wzdłuż gł. osi promieniowania - GKP	<0,054	<0,053
14	<0,8*	<2,10	<0,002	<0,006	0,3-2,0	N:53°05'38,67" E:23°14'01,36"	otoczenie stacji bazowej - 200m wzdłuż gł. osi promieniowania - GKP	<0,054	<0,053
15	<0,8*	<2,10	<0,002	<0,006	0,3-2,0	N:53°05'37,09" E:23°14'01,28"	otoczenie stacji bazowej - 250m wzdłuż gł. osi promieniowania - GKP	<0,054	<0,053
16	<0,8*	<2,10	<0,002	<0,006	0,3-2,0	N:53°05'35,54" E:23°14'01,41"	otoczenie stacji bazowej - 300m wzdłuż gł. osi promieniowania - GKP	<0,054	<0,053
17	<0,8*	<2,10	<0,002	<0,006	0,3-2,0	N:53°05'33,78" E:23°14'01,38"	otoczenie stacji bazowej - 350m wzdłuż gł. osi promieniowania - GKP	<0,054	<0,053
18	<0,8*	<2,10	<0,002	<0,006	0,3-2,0	N:53°05'31,40" E:23°14'00,93"	otoczenie stacji bazowej - 427m wzdłuż gł. osi promieniowania - GKP	<0,054	<0,053
19	<0,8*	<2,10	<0,002	<0,006	0,3-2,0	N:53°05'45,31" E:23°13'59,10"	otoczenie stacji bazowej - 50m wzdłuż gł. osi promieniowania - GKP	<0,054	<0,053
20	<0,8*	<2,10	<0,002	<0,006	0,3-2,0	N:53°05'45,41" E:23°13'56,19"	otoczenie stacji bazowej - 100m wzdłuż gł. osi promieniowania - GKP	<0,054	<0,053
21	<0,8*	<2,10	<0,002	<0,006	0,3-2,0	N:53°05'45,60" E:23°13'51,01"	otoczenie stacji bazowej - 200m wzdłuż gł. osi promieniowania - GKP	<0,054	<0,053
22	0,8	2,10	0,002	0,006	1,0	N:53°05'46,60" E:23°13'39,16"	otoczenie stacji bazowej - 427m wzdłuż gł. osi promieniowania - GKP	0,054	0,053
23	<0,8*	<2,10	<0,002	<0,006	0,3-2,0	N:53°05'46,40" E:23°13'59,84"	otoczenie stacji bazowej - 50m wzdłuż gł. osi promieniowania - GKP	<0,054	<0,053
24	<0,8*	<2,10	<0,002	<0,006	0,3-2,0	N:53°05'49,59" E:23°13'59,30"	otoczenie stacji bazowej - GKP	<0,054	<0,053
25	<0,8*	<2,10	<0,002	<0,006	0,3-2,0	N:53°05'48,87" E:23°14'01,37"	otoczenie stacji bazowej - GKP	<0,054	<0,053
26	<0,8*	<2,10	<0,002	<0,006	0,3-2,0	N:53°05'43,89" E:23°14'04,08"	otoczenie stacji bazowej - GKP	<0,054	<0,053
27	<0,8*	<2,10	<0,002	<0,006	0,3-2,0	N:53°05'40,89" E:23°14'02,79"	otoczenie stacji bazowej - GKP	<0,054	<0,053
28	<0,8*	<2,10	<0,002	<0,006	0,3-2,0	N:53°05'35,74" E:23°14'02,93"	otoczenie stacji bazowej - GKP	<0,054	<0,053
29	<0,8*	<2,10	<0,002	<0,006	0,3-2,0	N:53°05'45,08" E:23°13'40,28"	otoczenie stacji bazowej - GKP	<0,054	<0,053
30	<0,8*	<2,10	<0,002	<0,006	0,3-2,0	N:53°05'46,77" E:23°13'54,11"	otoczenie stacji bazowej - GKP	<0,054	<0,053
A	<0,8*	<2,10	<0,002	<0,006	0,3-2,0	Zabłudowska 72, pomiar przed budynkiem od str. instalacji - DPP		<0,054	<0,053
B	<0,8*	<2,10	<0,002	<0,006	0,3-2,0	Rzeczna 4, pomiar przed furtką - DPP		<0,054	<0,053
C	<0,8*	<2,10	<0,002	<0,006	0,3-2,0	Zabłudowska 79, pomiar przed bramą - DPP		<0,054	<0,053
D	<0,8*	<2,10	<0,002	<0,006	0,3-2,0	Zabłudowska 77, pomiar przed bramą - DPP		<0,054	<0,053
E	<0,8*	<2,10	<0,002	<0,006	0,3-2,0	Zabłudowska 75, pomiar przed bramą - DPP		<0,054	<0,053
F	<0,8*	<2,10	<0,002	<0,006	0,3-2,0	Zagórki 7, pomiar przed furtką od str. instalacji - DPP		<0,054	<0,053
G	<0,8*	<2,10	<0,002	<0,006	0,3-2,0	Pustostan, pomiar przed bramą od str. instalacji - DPP		<0,054	<0,053
H	<0,8*	<2,10	<0,002	<0,006	0,3-2,0	Okrętowa 4, pomiar przed bramą - DPP		<0,054	<0,053
I	<0,8*	<2,10	<0,002	<0,006	0,3-2,0	Okrętowa 12a, pomiar przed bramą - DPP		<0,054	<0,053
J	<0,8*	<2,10	<0,002	<0,006	0,3-2,0	Zagórki 8, pomiar przed bramą - DPP		<0,054	<0,053
K	<0,8*	<2,10	<0,002	<0,006	0,3-2,0	Okrętowa 19, pomiar przed bramą - DPP		<0,054	<0,053
L	<0,8*	<2,10	<0,002	<0,006	0,3-2,0	Zabłudowska 71, pomiar przed bramą - DPP		<0,054	<0,053
M	<0,8*	<2,10	<0,002	<0,006	0,3-2,0	Zabłudowska 71a, pomiar przed wejściem - DPP		<0,054	<0,053
N	<0,8*	<2,10	<0,002	<0,006	0,3-2,0	Zabłudowska 59, pomiar przed furtką - DPP		<0,054	<0,053
O	<0,8*	<2,10	<0,002	<0,006	0,3-2,0	Jachtowa 15, pomiar przed bramą - DPP		<0,054	<0,053
P	<0,8*	<2,10	<0,002	<0,006	0,3-2,0	Stoczni Gdańskiej 5, pomiar przed bramą - DPP		<0,054	<0,053
R	<0,8*	<2,10	<0,002	<0,006	0,3-2,0	Stoczni Gdańskiej 7, pomiar przed bramą - DPP		<0,054	<0,053
S	<0,8*	-	<0,002	-	0,3-2,0	Stoczni Gdańskiej 10, pomiar przed bramą - DPP		<0,054	<0,053

„Bez pisemnej zgody Laboratorium niniejsze sprawozdanie nie może być powielane inaczej, jak tylko w całości. Ponadto wyniki dotyczą tylko badanych obiektów przywołanych w niniejszym sprawozdaniu z badań”

T	<0,8*	-	<0,002	-	0,3-2,0	Stoczni Gdańskiej 12a, pomiar przed wejściem - DPP	<0,054	<0,053
U	1,4	3,68	0,004	0,010	1,1	Stoczni Gdańskiej 12, pomiar przed bramą - DPP	0,095	0,093
V	<0,8*	-	<0,002	-	0,3-2,0	Stoczni Gdańskiej 14a, pomiar przed furtką - DPP	<0,054	<0,053
W	0,8	2,10	0,002	0,006	1,1	Zatokowa 8, pomiar przed bramą - DPP	0,054	0,053
Y	<0,8*	-	<0,002	-	0,3-2,0	Perłowa 14, pomiar przed bramą - DPP	<0,054	<0,053

* poniżej czułości zestawu pomiarowego

**Zgodnie z rozporządzeniem pkt 14, dysponent został poinformowany z 3 dniowym wyprzedzeniem.

GKP - główne kierunki pomiarowe

PKP - pomocnicze kierunki pomiarowe

DPP- dodatkowe punkty pomiarowe

PP – pion pomiarowy

U - niepewność pomiarowa rozszerzona

kE - poprawka pomiarowa

WM_E - wartość wskaźnikowa poziomu emisji pól elektromagnetycznych dla miejsc dostępnych dla ludności dla składowej elektrycznej pola

WM_H - wartość wskaźnikowa poziomu emisji pól elektromagnetycznych dla miejsc dostępnych dla ludności dla składowej magnetycznej pola

7. Stwierdzenie zgodności

Na podstawie wytycznych podanych w Rozporządzeniu Ministra Zdrowia z dnia 17 grudnia 2019 r. w sprawie dopuszczalnych poziomów pól elektromagnetycznych w środowisku (Dz.U. 2019 poz. 2448) oraz sposobów sprawdzania dotrzymania tych poziomów zgodnie z Rozporządzeniem Ministra Klimatu z dnia 17 lutego 2020 r. w sprawie sposobów sprawdzania dotrzymania dopuszczalnych poziomów pól elektromagnetycznych w środowisku (Dz.U. 2020 poz. 258) dotyczących źródła wymagań, które muszą być spełnione (załącznik do rozporządzenia Ministra Klimatu z dnia 17 lutego 2020 r. (poz. 258)), w oparciu o zasadę podejmowania decyzji zgodną z pkt 26 załącznika do rozporządzenia Ministra Klimatu z dnia 17 lutego 2020 r. (poz. 258), na podstawie wyników pomiarów pól elektromagnetycznych wykonanych w dniu 23.09.2020 stwierdzono, iż w miejscach dostępnych dla ludności, dopuszczalne poziomy pól elektromagnetycznych w środowisku, określone w przepisach wydanych na podstawie art. 122 ust. 1 ustawy z dnia 27 kwietnia 2001 r. – Prawo ochrony środowiska, uznaje się za dotrzymane w obszarze pomiarowym, w którym w wyniku zastosowania sposobu sprawdzenia dotrzymania dopuszczalnych poziomów pól elektromagnetycznych w środowisku udokumentowano, że żadna z wartości wskaźnikowych nie przekracza wartości 1.

8. Oświadczenie.

Wyniki badania odnoszą się wyłącznie do badanego obiektu.

Bez pisemnej zgody sprawozdanie nie może być powielane inaczej, jak tylko w całości.

Uwagi i zastrzeżenia przyjmowane są w formie pisemnej w ciągu 14 dni od daty otrzymania sprawozdania.

9. Spis załączników.

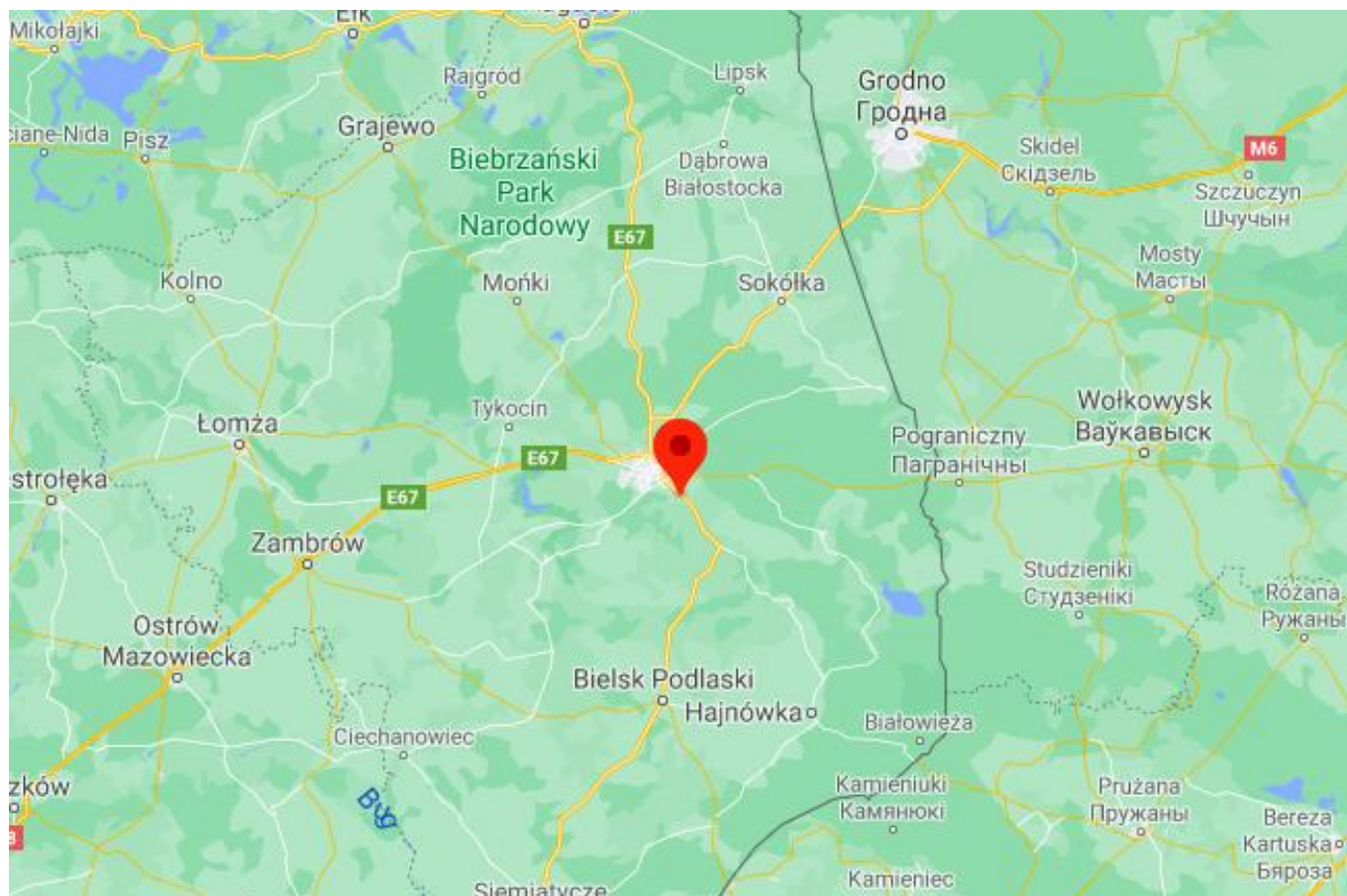
Zał. 1. Lokalizacja obiektu.

Zał. 2. Widok pionów pomiarowych

Zał. 3. Załączniki graficzne

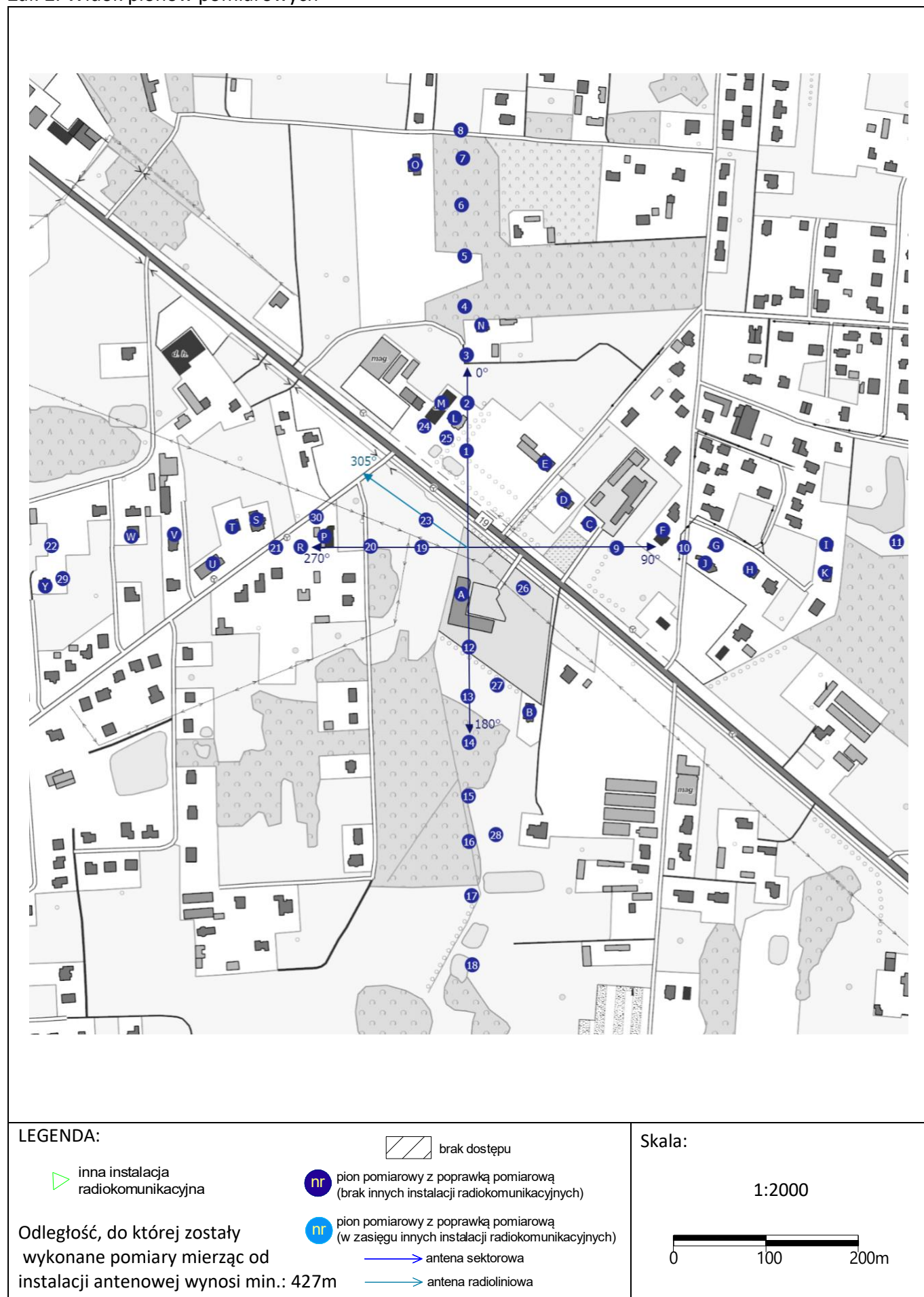
Koniec sprawozdania

Załącznik 1. Lokalizacja obiektu



Współrzędne geograficzne	
długość:	53°05'45.18"N
szerokość:	23°14'02.01"E

Załącznik 2. Widok pionów pomiarowych



Załącz. 3. Załączniki graficzne.

